

\*

• • , • •

28 2012 .

• -  
(  
- )  
• ,  
,  
90<sup>0</sup>  
90<sup>0</sup>.  
-  
:  
, , ,  
•

**Abstract.** Paper deals with the ability to transmit electromagnetic energy through the thick dielectric screens (screen thickness is several skin depths) of materials with high attenuation at microwave frequencies. The cases where the screen is made of ordinary dielectrics with low loss-angle tangent, with metal-like materials with loss-angle close to 90<sup>0</sup>, and of plasma-like materials with loss-angle over 90<sup>0</sup> are considered. The case of absolute translucence of lossless plasma-like material is separately discussed. The results of studies presented in this paper were reported at the 6th All-Russian Conference "Radar and radiocommunication."

**Keywords:** electromagnetic wave, diffraction gratings, equivalent long line, sandwich dielectric structure, plasma, electromagnetic enlightenment.

---

\*

( ) .

,

-

-

,

,

-

,

· · ·

-

( )

-

·

,

(

[3, 4],

-

(

-

$90^0$ )

-

[12].

-

,

-

-

( )

-

,

-

,

,

,

-

.

-

,

-

.

,

.

**1.**

. 1a

-

-

-

,

,

.

,

-

,

-

.

,

-

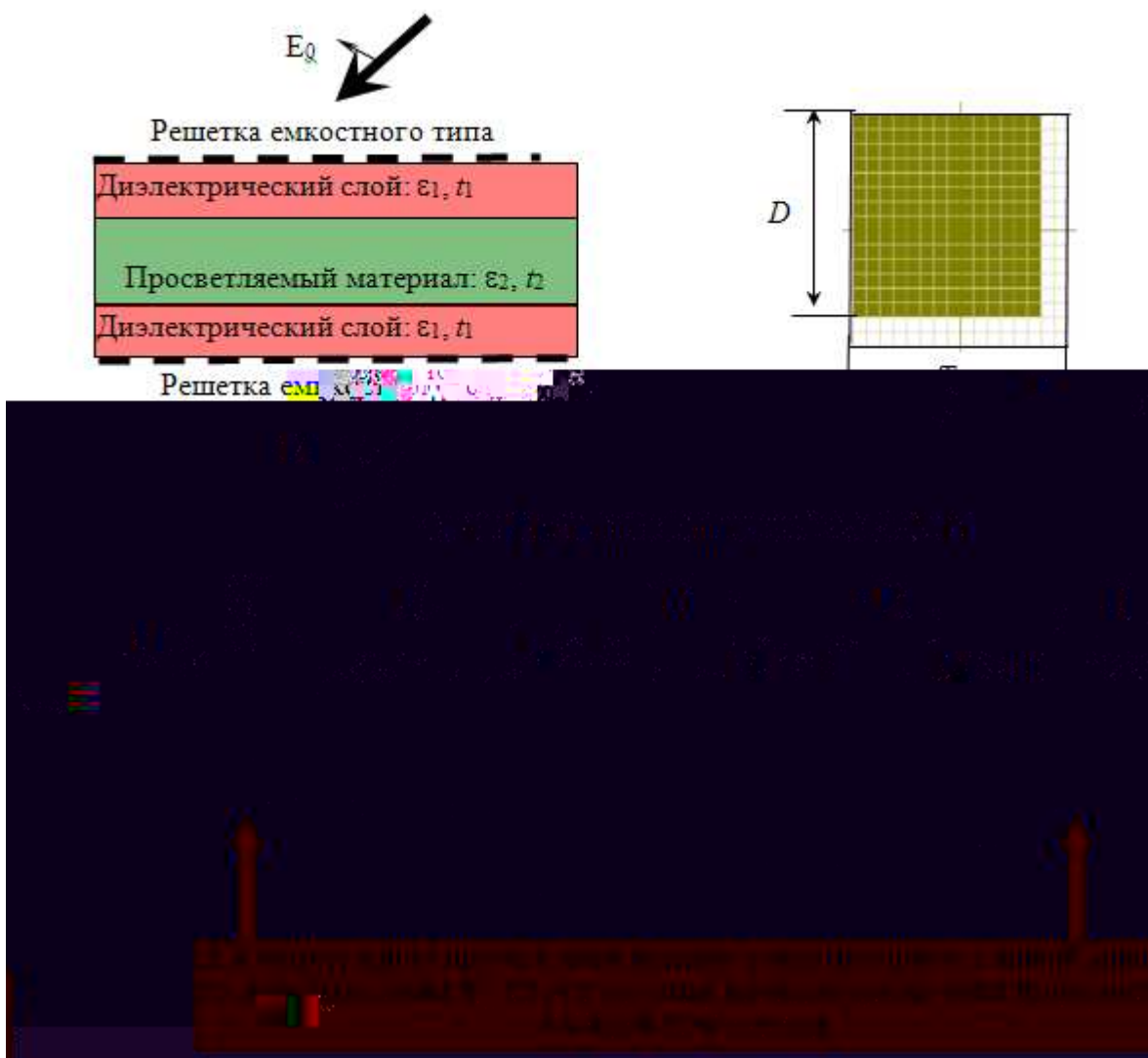
-

,

.

$$t'_{onm} = t_{onm}(r'_{экв}) - \text{Im} \left( \frac{c}{\omega \sqrt{\epsilon_2}} \right) \quad (1)$$

$$t_{onm} = \frac{c}{\omega} \sqrt{\frac{r'_{экв}}{120\pi}}; r'_{экв} \approx \text{Re} \left( \frac{120\pi}{\sqrt{\epsilon_2}} \right); c - ; \omega -$$



. 1.

$t'_{onm}$

( . 1a).

. 1б

[13].

$2 U_0$

$W_0 = 120 \pi.$

$C_C,$

( ).

$C_C$

$\omega$

$$X_C = \frac{1}{j\omega C_C}. \quad (2)$$

$Z_{ex}.$

$$Z_{ex} = W_0,$$

:

$$X_C = -\text{Im}Z_1 \quad \frac{1}{\text{Re} \frac{1}{Z_1}} = W_0 \quad (3)$$

$Z_1 -$

$U_1$

$Z_C$

:

$$Z_C = \frac{W_0 X_C}{W_0 + X_C} \quad (4)$$

$\varepsilon_1$

$t_1$

$A_1.$

$\varepsilon_2$

$t_2$

$A_2.$

$$Z_2 = \frac{120\pi}{\sqrt{\varepsilon_2}} \quad (5)$$

(3)

$W_0.$

$Z_1$

(

$U_1$

$U_4$

. 1б)

$Z_C:$

$$Z_1 = Z_C^* = \frac{Z_2 a_1 + b_1}{Z_2 c_1 + d_1} \approx Z_2 + jW_1 \operatorname{tg}(\gamma_1 t_1), \quad (6)$$

$$W_1 = \frac{W_0}{\sqrt{\varepsilon_1}}; \gamma_1 = k_0 \sqrt{\varepsilon_1}$$

(  $U_2$   $U_3$  . 1б)

$Z_2:$

$$Z_1' = Z_2^* = \frac{Z_C a_1 + b_1}{Z_C c_1 + d_1} = \frac{Z_C d_1 + b_1}{Z_C c_1 + a_1} \approx Z_C + jW_1 \operatorname{tg}(\gamma_1 t_1) \quad (7)$$

(7)

( )

. 1б

$U_4:$

$$U_4 = \frac{2U_0 Z_{ex}}{(Z_{ex} + W_0)} \frac{Z_2}{a_1 Z_2 + b_1} \frac{Z'_1}{a_2 Z'_1 + b_2} \frac{Z_C}{a_1 Z_C + b_1} = U_0 \frac{Z_2}{a_1 Z_2 + b_1} \frac{Z_2^*}{a_2 Z_2^* + b_2} \frac{Z_C}{a_1 Z_C + b_1} \quad (8)$$

:

$$T = \frac{U_4}{U_0} \rightarrow T_{onm} = \frac{Z_2}{a_1 Z_2 + b_1} \frac{Z_2^*}{a_2 Z_2^* + b_2} \frac{Z_C}{a_1 Z_C + b_1} \quad (9)$$

$$(6) \quad (7), \quad ,$$

$$(\operatorname{Re}(\gamma_2 t_2) \gg 1),$$

$$(\operatorname{Im}(\gamma_1) = 0), \quad :$$

$$T_{onm} = \frac{2Z_2^*}{(Z_2^* + Z_2) \exp(\gamma_2 t_2)} \frac{Z_2 Z_C}{Z_2^* Z_C^*} (c_1 Z_C + d_1)(c_1 Z_2 + d_1) \approx \exp(-\gamma_2 t_2) \frac{Z_2^*}{\operatorname{Re}(Z_2)} \left( \frac{Z_2 Z_C}{Z_2^* Z_C^*} \cos^2 \gamma_1 t_1 \right) \quad (10)$$

$$a_2 = ch(\gamma_2 t_2) = \frac{\exp(\gamma_2 t_2)}{2}; \quad b_2 = Z_2 sh(\gamma_2 t_2) = Z_2 \frac{\exp(\gamma_2 t_2)}{2};$$

$$d_1 = ch(j\gamma_1 t_1) = \cos \gamma_1 t_1; \quad |Z_2| \ll W_1 \Rightarrow c_1 Z_2 \rightarrow 0; \quad |Z_C| \ll W_1 \Rightarrow c_1 Z_C \rightarrow 0;$$

$$Z'_1 = Z_2^* = \frac{Z_C a_1 + b_1}{Z_C c_1 + d_1}; \quad \frac{Z_2 Z_C}{Z_2^* Z_C^*} \cos^2 \gamma_1 t_1 \approx 1.$$

$$(10)$$

$$(6) \quad (7).$$

$$|Z_C^*| u |Z_2| \ll W_1, \quad \tan \gamma_1 t_1, \quad ,$$

$$\cos \gamma_1 t_1 \approx 1. \quad (5) \quad :$$

$$Z_2 = \frac{W_0}{\sqrt{|\epsilon_2|}} \left( \cos \frac{\delta}{2} - j \sin \frac{\delta}{2} \right), \quad (11)$$

$$\delta - \quad , \quad \dots \delta = \operatorname{arctg} \frac{\operatorname{Im} \epsilon_2}{\operatorname{Re} \epsilon_2} .$$

$$(10)$$

$$\frac{Z_2}{\operatorname{Re}(Z_2)} = \frac{1}{\cos \frac{\delta}{2}} > 1 \quad (12)$$

( . . . ,

)

$|T'|$ ,

,

-

$|T_{\max}|$ ,

:

$$|T_{onm}| = |T'| |T_{\max}|, \quad (13)$$

$$|T_{\max}| = \frac{Z_2^*}{\operatorname{Re}(Z_2)} = \frac{1}{\cos \frac{\delta}{2}}; T' = \exp(-\gamma_2 t_2)$$

$n$

-

:

$$T_{onm} = -8,87n + 20 \log_{10} \left( \frac{1}{\cos \frac{\delta}{2}} \right) \quad (14)$$

(13)

,

-

,

.

-

:

1) Обычные диэлектрики с небольшими потерями ( $\tan \delta \ll 1$ ).

-

-

-

2) Металлоподобные материалы ( $\delta \approx 90^\circ$ ).

3

3) Плазмopodobные материалы ( $\delta > 90^\circ$ ).

2.

$Z_2$

$$R_2 = \frac{W_0}{\sqrt{|\epsilon_2|} \cos \frac{\delta}{2}} \quad j\omega L_2 = j \frac{W_0}{\sqrt{|\epsilon_2|} \sin \frac{\delta}{2}} \quad (15)$$

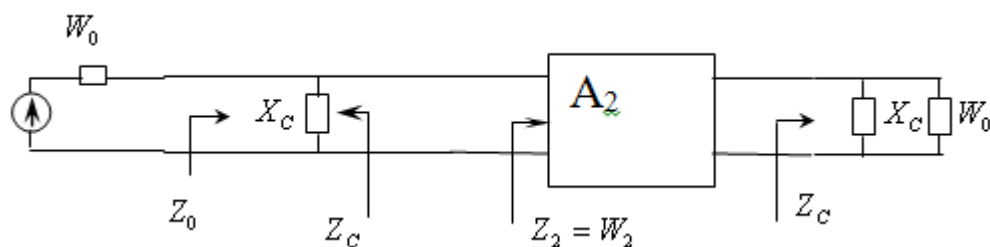
2- (13),

$$\sqrt{|\epsilon_2|} \sin \frac{\delta}{2} \geq 1 \quad (16)$$

(16)

1-

(3) ( . 2).



. 2.

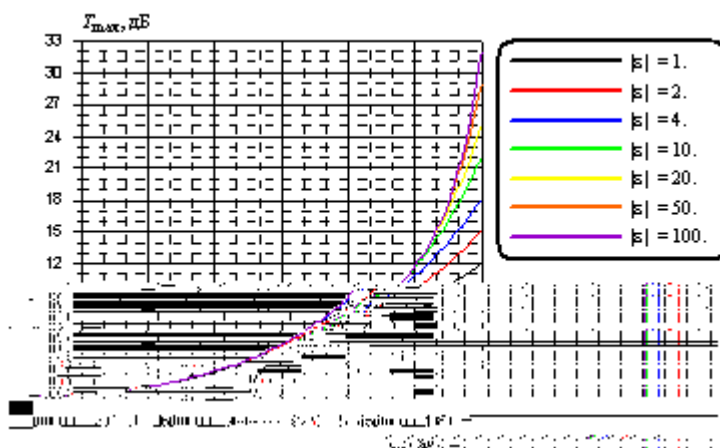
(16)

$$|T_{\max}| = \left| \frac{4Z_0 \sqrt{\epsilon_2}}{Z_0 + W_0 \sqrt{|\epsilon_2|} \cos \frac{\delta}{2} + 1} \right| \quad (17)$$

( $\delta = 180^\circ$ ),

$$|T_{\max}| = |4\sqrt{\epsilon_2}| \quad (18)$$

. 3



. 3.

$T_{\max}$

$\delta$ .

3.

X-10

$$\epsilon_2 = 300 - j 1400.$$

. 4a.

$t_2 =$

0,41 .

( $\epsilon_1 =$

2,53 - j0,14).

(1)

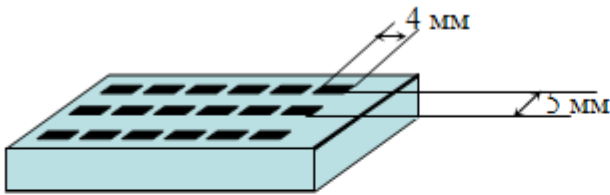


.5 -  
 ( 3 4). .5 ( 1 2), -  
 ( 5). , -  
 -10 2,1 -  
 16 ( 1 3). , -  
 , -5,3 ( 2). -  
 , 2,1 -  
 -1,8 ( 5), -  
 1,9 T' ( 6). -  
 T = -1,5 -  
 .  
 $\delta=180^0$  ,  
 .. .  
 -4 ), 5 ( . 6a), -  
 $X_C = -j 65$  ( . 6b). -  
 , , , -  
 , -  
 . . 7 -  
 5 10 ( 1 3), -  
 ( 2 4), -

$$\begin{matrix} \epsilon_2 & \mu_2 & & 10 & (\epsilon_2=36, \mu_2 =0,48 \\ & & & & \\ 5 & \epsilon_2=33, \mu_2 =0,44 & & 10 & ). \\ & & & & \mu_2 \end{matrix}$$

1, (18) :

$$|T_{\max}| = \left| 4 \sqrt{\frac{\epsilon_2}{\mu_2}} \right| = 4\sqrt{75} = 30,8 \text{ дБ} \quad (19)$$

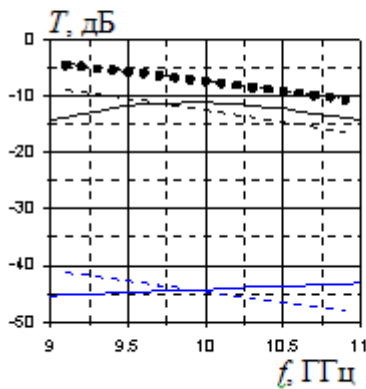
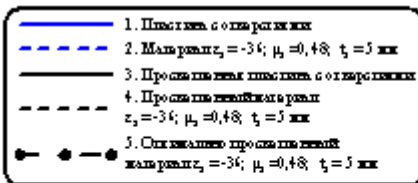


а) аналог плазмopodobного материала металлическая пластина с отверстиями

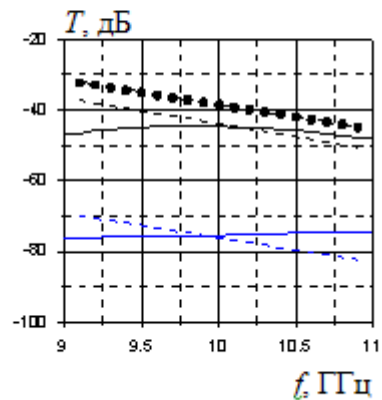
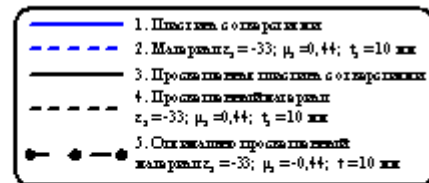
Емкостная поверхность с $X_c = -j 65 \text{ Ом}$
Слой воздуха $\epsilon_1=1,0 \quad \eta=0,2 \text{ мм}$
Пластина с отверстиями $t_2 = 5 \text{ и } 10 \text{ мм}$
Слой воздуха $\epsilon_1=1,0 \quad \eta=0,2 \text{ мм}$
Емкостная поверхность с $X_c = -j 65 \text{ Ом}$

б) схема просветления экрана из плазмopodobного материала

. 6.



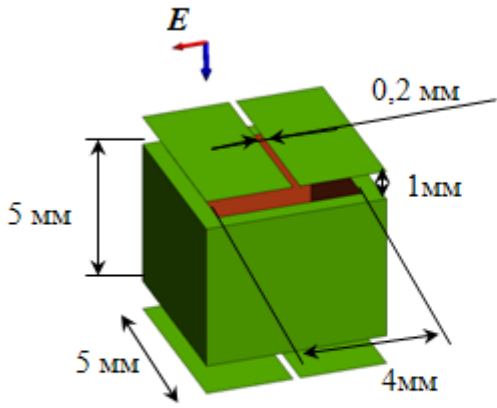
а) пластина толщиной 5 мм



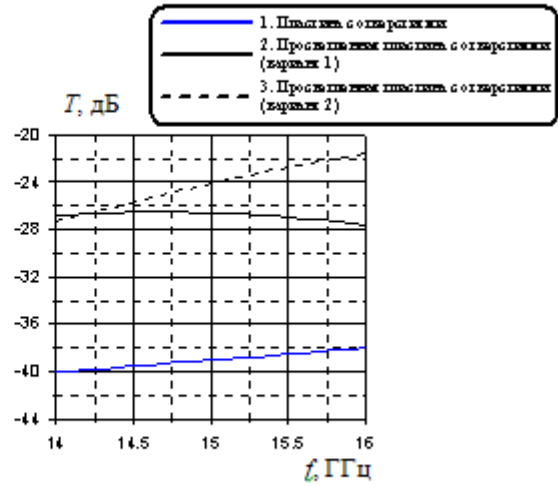
б) пластина толщиной 10 мм

. 7.

, , . 6б,  
 ,  
 , . 7  
 ,  
 ( 5). ,  
 , 3,7 .  
 ,  
 , . 8а.  
 5  
 4 ,  
 5 . 15  
 ε=14 μ=0,48. 1  
 ,  
 , 0,2 . . 8б  
 ( 1 2).  
 . 8б  
 0,5 ( 3). ,  
 (19),  $T_{omn} = 12,3 \text{ дБ}$ ,  
 ,



а) один период периодической структуры



б) Частотная зависимость КП периодической структуры

. 8.

4.

$$=180^0$$

$$=180^0 [14]$$

[15].

$$Z_2 = \frac{W_0 ch(j\gamma_2 t_2) - W_2 sh(j\gamma_2 t_2)}{\frac{W_0}{W_2} sh(j\gamma_2 t_2) - ch(j\gamma_2 t_2)} \quad (20)$$

. 9a

$Z_2$ ,

(20),

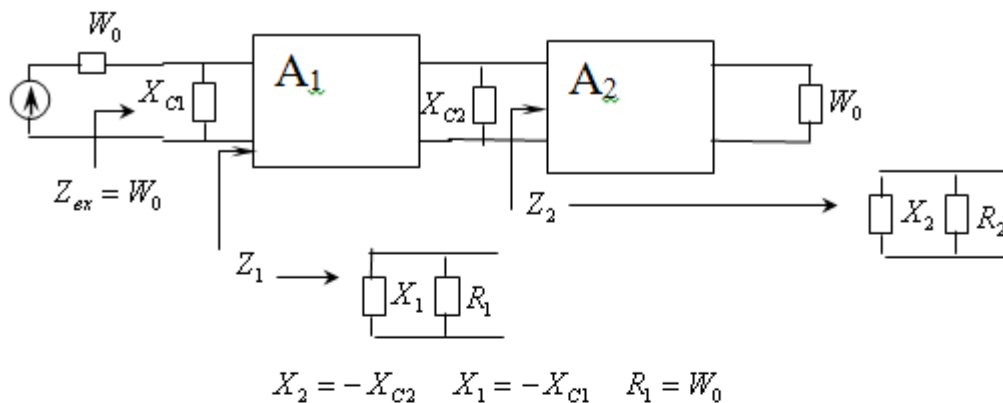
$X_2$

$R_2$ .

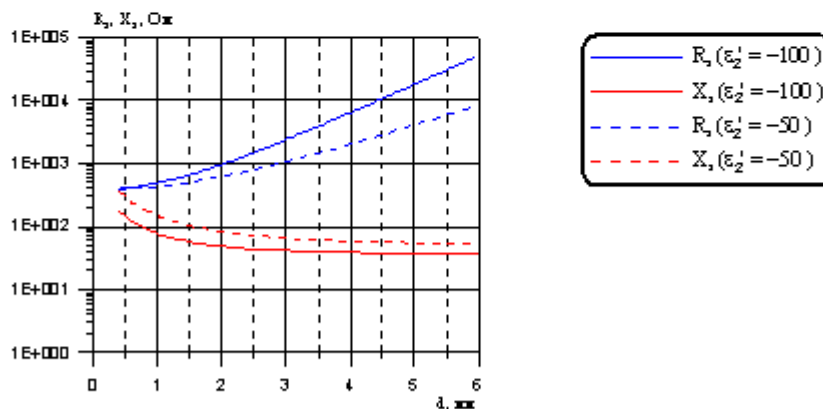
2,5

$\epsilon_2 = -100 \quad -50$





а) схема одностороннего просветления экрана с помощью двух ДР емкостного и индуктивного типов



б) зависимость активной  $R_2$  и реактивной  $X_2$  частей поверхностного импеданса просветляемого экрана толщиной  $t_2 = 3,0$  мм

. 9.

$(t_1 = 58 \quad ) ($

11a).

$R_1 \quad X_1$

( . 11б),

$f = 2,53$

$120\pi,$

$$-X_1,$$

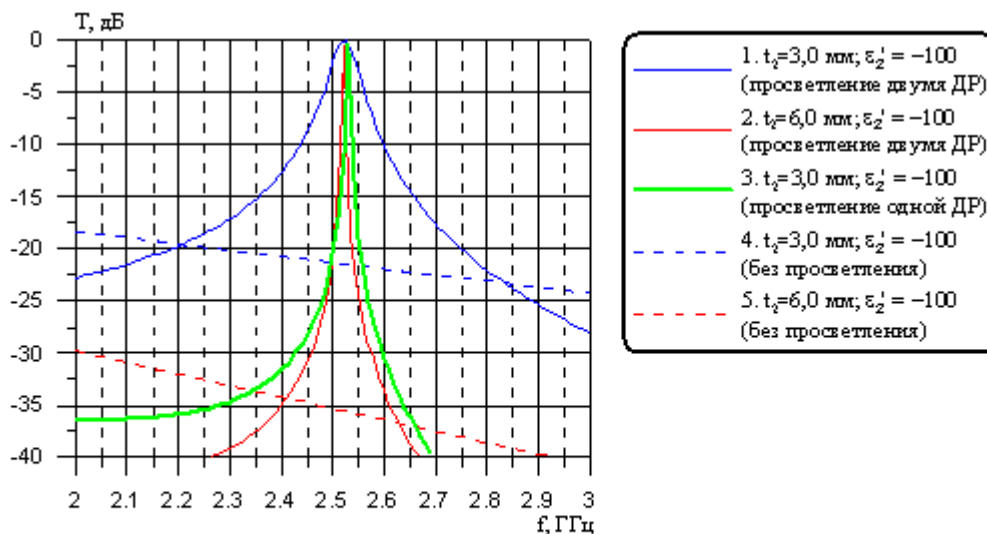
$$T = 20$$

$$D = 18,75,$$

$$1,2).$$

согласующая решетка индуктивного типа $X_{C1}$
воздух $\epsilon_1=1,0 \quad t_1=2,0\text{мм}$ (3,3 мм для $t_2 = 6,0$ мм)
согласующая решетка емкостного типа $X_{C2}$
воздух $\epsilon_1=1,0 \quad t_1=0,09$ мм
Экран $t_2 = 3,0$ или $6,0$ мм, $\epsilon_2 = -100$

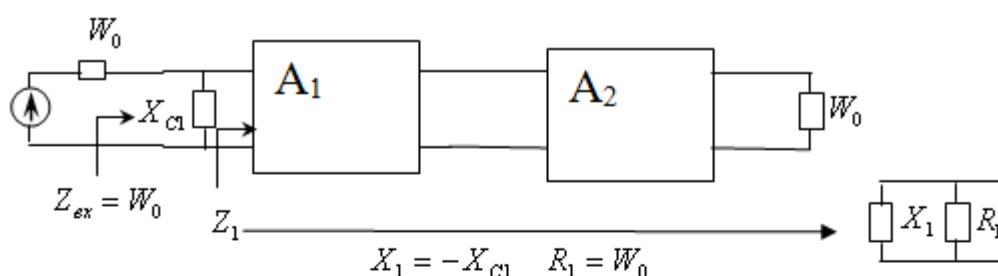
а) одностороннее просветление экрана из плазмподобного материала с помощью двух ДР емкостного и индуктивного типов



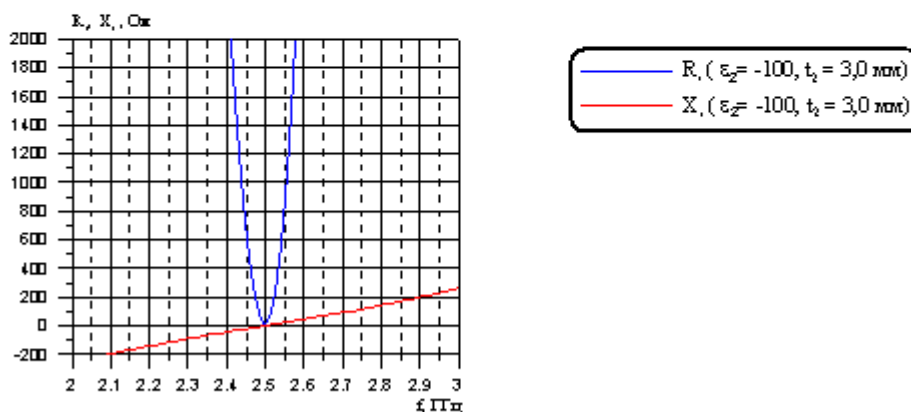
б) расчетные частотные зависимости КП экранов из плазмподобного материала

$$10. \quad \epsilon_2' = -100 \quad t_2 \quad 3,0 \quad 6,0$$

$$106 \quad ( \quad 3) \quad 2,53$$



а) схема одностороннего просветления экрана с помощью одной ДР емкостного типа



б) зависимость активной  $R_1$  и реактивной  $X_1$  частей поверхностного импеданса просветляемого экрана ( $t_2 = 3,0$  мм  $\epsilon_2 = -100$ ) на расстоянии  $t_1$  58 мм от его поверхности



5. . . . , . . . -  
 , . . . , . . . . ∴ , 2003.

6. . . . , . . . , . . . . -  
 . . . , 4, . 79-82, 2000.

7. . . . .  
 . 6. 2011.

8. . . . , . . . , . . . . -  
 -  
 . 2412422.

9. A.M. Sodagar, K.D. Wise, K.Najafi. A wireless implantable microsystem for multichannel neural recording. IEEE Trans. MTT. V. 57. N 10. P. 2565-2573.

10. T.Feng, Y.Li, Y.Sun, L.He, H. Li, Y. Shi, H. Chen. Electromagnetic tunneling in a sandwich structure containing single negative media. Phys. Rev. E. Vol. 79. P. 026601. 2009.

11. J. Choi, C. Seo. High-efficiency wireless energy transmission using magnetic resonance based on metamaterial with relative permittivity equal to -1. Progress in Electromagnetic Research. Vol. 106. 33-47. 2010.

12. . . . “ . . . ”. , “ ”.  
 1988 .

13. . . . , . . . “ . . . ”.  
 , . 1994 .

14. . . . “ ”. . . -  
 . 1961 .

15. . . . , . . . “ ”.  
 , , 1985.- 240 .

16. . . . “ ”. , “ ”.  
 . 1975 .